

تأثیر مشخصات زمین لرزه بر پتانسیل خرابی پیش رونده لرزه‌ای قاب‌های خمشی فولادی تجهیز شده به مهاربند دروازه‌ای

فرزاد مقرون^۱، محسن ایزدی نیا^{۲*}، نصرت ا. صلح جویی^۳، اسماعیل ایزدی زمان آبادی^۴

- ۱- دانشجوی دکتری، گروه مهندسی عمران، واحد نجف آباد، دانشگاه آزاد اسلامی، نجف آباد
- ۲- استادیار، گروه مهندسی عمران، واحد نجف آباد، دانشگاه آزاد اسلامی، نجف آباد
- ۳- استادیار، گروه مهندسی عمران، واحد نجف آباد، دانشگاه آزاد اسلامی، نجف آباد
- ۴- استادیار، گروه مهندسی عمران، واحد نجف آباد، دانشگاه آزاد اسلامی، نجف آباد

*نجف آباد، صندوق پستی ۸۵۱۴۱۴۳۱۳۱ | izadinia@iaun.ac.ir

چکیده

خرابی پیشرونده در قاب‌های ساختمانی به گسترش یک خرابی موضعی اولیه در تمام و یا بخشی از سازه به صورت زنجیروار اطلاق می‌شود. این پدیده به دنبال حذف یک و یا چند جزء باربر آغاز و در نهایت منجر به خرابی کل و یا بخشی از سازه خواهد شد. مطالعات پیشین عمدتاً تحلیل خرابی پیشرونده را به شیوه پیشنهادی آین نامه‌ها و تحت بارگذاری تقلیلی با ترکیب بار تعریف شده انجام داده‌اند. در این مطالعه پدیده خرابی پیشرونده در قاب‌های خمشی فولادی تجهیز شده به مهاربند دروازه‌ای تحت بارگذاری لرزه‌ای مورد بررسی قرار گرفت. سپس با معرفی گروه‌های متعدد شتاب نگاشت، اثر مشخصات لرزه‌ای شتاب نگاشتها مانند بیشینه شتاب، شاخص آریاس، محتوای فرکانسی و مولفه قائم مورد بررسی قرار گرفتند. همچنین تحلیل خرابی پیشرونده با حذف ستون‌های کناری و میانی در سناریوهای متعدد حین زمین لرزه دیده شده است. نتایج نشان داد که بیشینه شتاب و پریود غالب تاثیر زیادی تا حدود ۶۶ درصد، بر پاسخ قاب‌ها داشته و لیکن اعمال مولفه قائم تاثیر ناچیزی بر پاسخ قاب‌ها داشته است.

واژگان کلیدی

خرابی پیشرونده، قاب مهاربندی دروازه‌ای، تحلیل دینامیکی غیرخطی، مشخصات زمین لرزه، اپنسیس

Effects of earthquake characteristics on seismic progressive collapse potential of steel moment-resisting frames equipped with gate bracing

F. Maghroon, M. Izadinia, N. Solhjoei, E. Izadi Zaman Abadi

Abstract

The progressive collapse in building frames refers to the spread of an initial localized chain collapse in all or some parts of the structure. This phenomenon occurs following the removal of one or more load-bearing elements and eventually leads to the total or partial collapse of the structure. In previous studies, the progressive collapse has been analyzed mainly using the method proposed in building codes under gravitational loading with a defined load combination. This study aims to investigate the progressive collapse of steel moment-resisting frames equipped with gate (hat) bracing under seismic loading. For this purpose, the effect of the seismic properties of the acceleration records such as peak ground acceleration (PGA), Arias intensity, frequency content, and a vertical component are examined, following the introduction of several acceleration groups. Next, progressive collapse analysis with side and middle column removal is simulated under various scenarios during an earthquake. The results showed a high effect of about 66% PGA and predominant period on frame responses and, at the same time, a slight effect of the vertical component application on frame responses.

Keywords

Progressive Collapse; Gate (hat) Bracing Frame; Nonlinear Dynamic Analysis; Earthquake Characteristics; OpenSees

۱- مقدمه

مثال‌هایی از این روش می‌باشد. در روش طراحی غیرمستقیم حداقل مقاومت، شکل‌پذیری و نامعینی در سازه جهت کاهش پتانسیل فروریزش پیش‌روندۀ تأمین می‌گردد. بهبود اتصالات گرهی، تولید نامعینی و شکل‌پذیری از جمله تکنیک‌ها در این روش می‌باشد. روش طراحی مستقیم خود بر دو قسم است. روش مقاوم‌سازی محلی ویژه و روش مسیر جایگزین. در روش مقاوم‌سازی محلی ویژه که به روش طراحی اعضای کلیدی نیز مشهور است، ابزاری برای کاهش خطر خرابی موضعی فراهم می‌شود. در این روش اجزای سازه‌ای بحرانی باید قادر به تحمل بارگذاری غیرعادی فرضی مانند فشار انفجار باشند. روش دیگر در این شاخه روش مسیر جایگزین می‌باشد. در این روش طراحی به نحوی انجام می‌شود که بعد از حذف جزء مفروض، شکل‌پذیری اجزای مجاور جزء حذف شده به نحوی کافی باشد که بتوانند با ایجاد مسیر جدید باربری، به ساکنین اجازه تخلیه محل را بدهند.

آیین‌نامه‌های متعددی در حوزه خرابی پیش‌روندۀ تدوین شده که به ارزیابی پتانسیل خرابی پیش‌روندۀ سازه‌ها تحت تحلیل‌های استاتیکی و دینامیکی پرداخته‌اند. راهنمای وزارت دفاع ایالات متحده طراحی تمامی ساختمان‌های دارای سه طبقه یا بیشتر را ملزم به در نظر گرفتن خرابی پیش‌روندۀ کرده است [۲-۴]. آیین نامه اداره خدمات عمومی آمریکا^۱ نیز به ارائه روش‌های بررسی ساختمان‌ها از نظر پتانسیل خرابی پیش‌روندۀ پرداخته است [۵]. این آیین نامه همچنین به ارائه ترکیب بارهای مناسب جهت بررسی خرابی پیش‌روندۀ در تحلیل‌های استاتیکی و دینامیکی پرداخته است. استاندارد اروپا نیز با دسته‌بندی ساختمان‌ها در چهار رده، بررسی خرابی پیش‌روندۀ را برای هر رده متفاوت در نظر گرفته و اگر چنانچه محدوده آسیب با حذف جزء باربر قائم خیلی گستردۀ باشد، این جزء را یک جزء کلیدی در نظر گرفته و در نظر گرفتن باری معادل ۳۶ کیلونیوتن بر مترمربع را برای طراحی جزء کلیدی در نظر گرفته است.

برای اولین بار، **McGuier** و **Gross** در سال ۱۹۸۳ میلادی با ایجاد یک برنامه کامپیوتری با قابلیت‌های گرافیکی جهت تحلیل و طراحی سازه‌ها در برابر خرابی پیش‌روندۀ، هر دو روش طراحی مستقیم شامل مقاومت موضعی ویژه و روش مسیر باربری جایگزین را توانماً مورد ارزیابی قرار دادند [۶]. **Williamson** و **Kaewkulchai** در سال ۲۰۰۳ با استفاده از یک مدل دو بعدی به مقایسه دو تحلیل استاتیکی و دینامیکی در بحث خرابی پیش‌روندۀ پرداخته و به این نتیجه دست یافت که در تحلیل استاتیکی چون اثرات دینامیکی ناشی از حذف ستون

خرابی پیش‌روندۀ با گسترش یک خرابی محلی به صورت زنجیروار در کل یک سیستم سازه‌ای رخ می‌دهد. خرابی محلی عمدتاً ناشی از عوامل خارجی بوده که با حذف شدن المان‌های کلیدی در یک سیستم مانند ستون آغاز می‌گردد. این عوامل خارجی مانند انفجار از داخل و یا از خارج سازه، برخورد شدید وسایل نقلیه به سازه، ایرادات اجرایی و غیره می‌باشند. رونان پوینت یک ساختمان آپارتمانی بود که در لندن در سال‌های ۱۹۶۶ تا ۱۹۶۸ ساخته شد. در شانزدهم ماه می سال ۱۹۶۸ انفجار گاز در قست بیرونی پایین پانل دیوار بیرونی در طبقه هجدهم آپارتمان در گوشۀ ساختمان ۲۲ طبقه اتفاق افتاد [۱]. این حادثه گامی نخست برای بررسی خرابی پیش‌روندۀ در مطالعات و آیین‌نامه‌ها به شمار می‌رود. طراحی سازه‌ها عموماً برای بارگذاری‌های عادی و رایج مانند بار زنده، مرده، برف، باد و زلزله صورت می‌گیرد. در تمامی این حالات بارگذاری، فرض بر این است که در تمام مدت بارگذاری سختی سازه ثابت بوده و هیچ عضوی از آن حذف نمی‌شود. اما در طی بارگذاری‌های شدید و با احتمال وقوع کم عواملی مانند انفجار گاز، بمب گذاری، برخورد وسایل نقلیه و یا نیروهای لرزه‌ای شدید که می‌توانند باعث گسیختگی اعضا شوند، ممکن است موجب فروریزش بخش بزرگی از سازه و یا کل آن گردد. پدیده خرابی پیش‌روندۀ را می‌توان با روش‌های تحلیلی متنوعی که از روش‌های بسیار ساده تا تحلیلهای بسیار پیچیده را شامل می‌شوند، مورد بررسی قرار داد که عموماً این تحلیل‌ها با بکارگیری نرم‌افزارهای اجزاء محدود که قابلیت کاملاً برای درنظرگرفتن خواص دینامیکی و غیرخطی سازه‌ها دارند قابل انجام است. واضح است که پدیده خرابی پیش‌روندۀ، به دلیل وقوع آن در یک بازه زمانی بسیار کوتاه و تحمیل شدن تغییر شکل‌های غیرخطی به اجزاء پیش از گسیختگی، یک پدیده دینامیکی و غیرخطی می‌باشد.

روش‌های کاهش خطر فروریزش پیش‌روندۀ به سه دسته اصلی کنترل حادثه، روش طراحی غیرمستقیم و روش طراحی مستقیم تقسیم می‌شود. در روش کنترل حادثه تلاش برای کنترل و جلوگیری از بارگذاری غیرعادی می‌باشد. یعنی حذف یک حادثه، کاهش اثرات حادثه و محافظت در مقابل حادثه. روش کنترل حادثه، مقاومت سازه را افزایش نمی‌دهد و تحت کنترل مهندس سازه نیست و خارج از محدوده کاری است. قرار گرفتن ساختمان در نواحی دورتر از مناطق مترکم و ایجاد حصار پیرامون ستون جهت جلوگیری از ضربه وسایل نقلیه



بررسی خرابی پیش رونده قاب‌های خمثی فولادی پرداختند [۱۵]. در این مطالعه اثر فاکتور نسبت دهانه به عمق تیرها در پاسخ سازه مورد بررسی قرار گرفت. در این مطالعه مشخص شد که به جای طول دهانه، نسبت دهانه به عمق در میزان تحمل تیرها در دهانه‌ای که ستون حذف شده است، موثر می‌باشد. **Tavakoli** و همکارانش در مطالعه‌ای دیگر در سال ۲۰۱۷ به بررسی اثر مشخصات زلزله در پتانسیل خرابی قاب‌های خمثی فولادی تحت خرابی پیش‌روندۀ پرداختند [۱۶]. در این مطالعه قاب‌های فولادی ۵ و ۱۵ طبقه تحت تحلیل‌های استاتیکی و دینامیکی غیرخطی با در نظر گرفتن الگوی بار آئین نامه اداره خدمات عمومی آمریکا قرار گرفتند. نتایج تحلیل خرابی پیش رونده نشان داد که پتانسیل خرابی پیش رونده تا حد زیادی به محل ستون حذف شده در قاب و همچنین تعداد طبقات وابسته است. همچنین نتایج نشان داد که پاسخ دینامیکی سیستم تا حد زیادی به مشخصات زمین لرزه از جمله شدت آریاس، بیشینه شتاب زمین^۳ و محتوای فرکانسی وابسته است. نتایج نشان داد با افزایش شدت آریاس، با توجه به افزایش انرژی ورودی به سیستم، جابجایی قائم نهایی در محل ستون حذف شده افزایش می‌یابد. همچنین حذف ستون کناری شرایط بحرانی تری را به نسبت حذف ستون میانی ایجاد می‌کند. پس از حذف ستون حین زمین لرزه، زلزله باعث افزایش مقادیر جابجایی در محل حذف ستون می‌شود. **Abdelwahed** در سال ۲۰۱۹ به بررسی کلیاتی در خصوص خرابی پیش رونده ساختمان‌ها پرداخت. در این مطالعه بار دیگر روش‌های مستقیم و غیرمستقیم در طراحی ساختمان‌های مقاوم در برابر خرابی پیش رونده معرفی گردید. روش غیر مستقیم که در آن حداقل حد مقاومت و ناعمینی سازه‌ها در نظر گرفته می‌شود و روش مستقیم که در آن رخداد زنجیروار تلاش‌های کششی و خمثی بعد از حذف المان در نظر گرفته می‌شود [۱۷].

مطالعات گذشته نشان می‌دهند که بررسی قاب‌های ساختمانی تحت اثر خرابی پیش‌روندۀ بسیار حائز اهمیت می‌باشد. از سوی دیگر رخداد خرابی پیش رونده حین زمین لرزه بسیار محتمل بوده و برخی مطالعات، به بررسی خرابی پیش رونده حین رخداد زمین لرزه پرداخته‌اند. همچنین به بررسی اثر مشخصات زمین لرزه بر روی پتانسیل خرابی پیش رونده قاب‌ها پرداخته شده است. در این مطالعه در نظر است با طراحی و مدل‌سازی قاب‌های خمثی با ارتفاع و تعداد طبقات مختلف^۴، ۸ و ۱۲ چهار دهانه و تجهیز این قاب‌ها به مهاربند دروازه‌ای و معرفی سناریوهای متعدد حذف ستون، به بررسی اثر مشخصات

دیده نمی‌شود، جواب‌ها دست پایین می‌باشند [۱۸]. **Ruth** و همکارانش در سال ۲۰۰۶ به بررسی تحلیل استاتیکی معادل برای خرابی پیش رونده پرداختند [۱۸]. با توجه با اینکه در آین نامه اداره خدمات عمومی آمریکا برای در نظر گرفتن اثرات دینامیکی از ضربه ۲ در تحلیل استاتیکی استفاده می‌شود، در این مطالعه مشخص شد که این ضربه بسیار محافظه کارانه بوده و در نظر گرفتن ضربه دینامیکی ۱/۵ در تحلیل استاتیکی برای این اثر بهتر بوده و منحر به طراحی اقتصادی‌تر می‌شود. **Kim** و همکارانش در سال ۲۰۰۹ به بررسی خرابی پیش رونده در قاب‌های فولادی سه و شش طبقه پرداختند [۱۹]. در این مطالعه تحلیل‌های استاتیکی و دینامیکی غیرخطی بر روی قاب‌های موردنظر در حالت‌های بدون مهاربند و همراه با مهاربند، اعمال گردید. نتایج این مطالعه نشان داد که در قاب‌های مهاربندی شده احتمال آسیب سازه کاهش یافته و همچنین **Kim** جابجایی نقطه بالایی ستون حذف شده نیز کاهش می‌یابد. و همکارانش همچنین در سال ۲۰۱۰ به بررسی خرابی پیش رونده در قاب‌های مهاربندی پرداختند [۱۰ و ۱۱]. با توجه به نتایج تحلیل دینامیکی مشخص شد که عموماً سازه‌ها در حین حذف ستون میانی پایدار باقی مانده‌اند. همچنین مشخص شد قاب‌هایی که دارای سیستم مهاربندی هشتی (V بر عکس) هستند، در مقایسه با سایر سیستم‌های مهاربندی خرابی را به تاخیر می‌اندازن. **Jiang** و همکارانش در سال ۲۰۱۴ به بررسی دو سیستم مختلف مهاربندی در تاب آوری سازه‌های فولادی تحت خرابی پیش‌روندۀ حین آتش پرداختند. در این مطالعه سیستم مهاربندی عمودی و کلاهکی (دوازه‌ای) مورد بررسی قرار گرفت [۱۲]. **Tavakoli** و همکارانش در سال ۲۰۱۵ به بررسی اثر جداساز لرزه‌ای بر مقاومت سازه‌ها در برابر خرابی پیش رونده، پرداختند [۱۳]. در این مطالعه اثر جداسازهای لاستیکی با هسته سربی در بهبود رفتار قاب‌های ساختمانی تحت تحلیل خرابی پیش رونده حین زلزله بررسی گردید. نتایج نشان داد در تحلیل‌های استاتیکی غیرخطی حضور جداساز در میزان تقاضاهای سیستم تقریباً بدون تاثیر می‌باشد. **Faroughi** و همکارانش در سال ۲۰۱۶ به بررسی اثر خرابی پیش رونده بر قاب‌های دوگانه خمثی به علاوه مهاربند واگرا پرداختند [۱۴]. در این مطالعه مشخص شد برای سازه ۵ طبقه میزان مناسب مهاربند به اندازه ۱۰ تا ۲۰ درصد دهانه قاب و در قاب ۸ طبقه این نسبت بین ۲۰ تا ۳۰ درصد می‌باشد. همچنین مشخص شد سیستم رایج مهاربندی دارای رفتار مناسب‌تری حین خرابی پیش‌روندۀ می‌باشد. لینگ **Li** و همکارانش در سال ۲۰۱۷ به



شتاب نگاشت‌ها و همچنین اثر حضور مولفه قائم در تحلیل خرابی پیش‌روندۀ پرداخته شود. جهت مدل‌سازی و تحلیل از راهکار ارائه شده توسط آیین نامه اداره خدمات عمومی آمریکا و نرم افزار اپنسیس استفاده شده است.

۲- مدل‌سازی

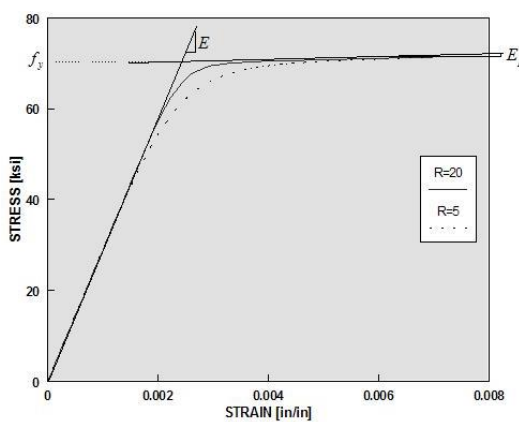
قاب‌های مورد بررسی در این مطالعه، قاب‌های چهاردهانه، ۸ و ۱۲ طبقه خمثی فولادی تجهیز شده به مهاربند دروازه‌ای بوده که مقاطع ستون از نوع باکس و مقاطع تیرها از نوع IPE و مهاربندها از نوع دوبل ناوданی می‌باشند. قاب‌ها به صورت دو بعدی طراحی شده و بارهای در نظر گرفته شده در طراحی به میزان ۳۰۰۰ و ۵۰۰۰ نیوتون بر مترمربع به ترتیب برای بارهای زنده و مرده طبقات در نظر گرفته شده است. شکل شماتیک قاب‌های مدل‌سازی شده در شکل (۱) ارائه شده است. کلیه دهانه‌ها و ارتفاع طبقات به ترتیب ۴ و ۳ متر می‌باشند. فرض طراحی قاب‌ها بر این است که قاب مورد نظر قاب مسکونی واقع در منطقه اصفهان و خاک براساس استاندارد ۲۸۰۰ نوع سه انتخاب شده است. تمامی اتصالات تیر به ستون بصورت صلب فرض شده است. مقاطع طراحی شده در جدول (۱) ارائه شده است. همچنین مشخصات مصالح استفاده شده در نرم افزار در جدول (۲) آورده شده است.

جدول ۱- مشخصات مقاطع				
مهاربند	ستون	تیر	شماره طبقه	طبقه
2UNP 80	BOX 20×20×1	IPE 220	۱-۴	۴ طبقه
2UNP 100	BOX 20×20×1.5	IPE 300	۱-۳	طبقه ۸
	BOX 20×20×1	IPE 270	۴-۶	
	BOX 20×20×1	IPE 220	۷-۸	
	BOX 20×20×2	IPE 300	۱-۳	
2UNP 120	BOX 20×20×1.5	IPE 300	۴-۷	طبقه ۱۲
	BOX 20×20×1	IPE 270	۸-۱۰	
	BOX 20×20×1	IPE 220	۱۱-۱۲	

جدول ۲- مشخصات مصالح

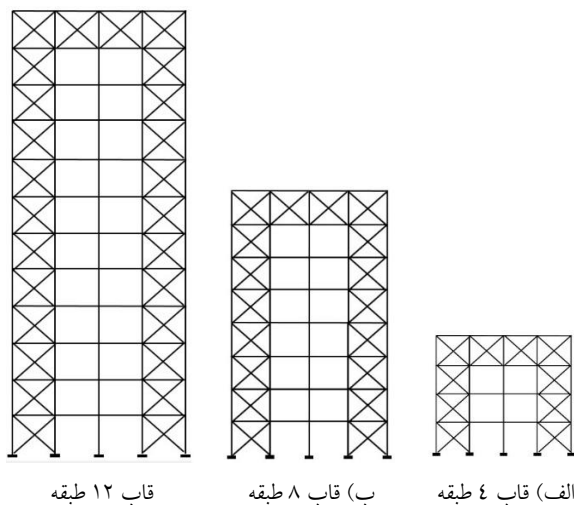
جرم حجمی (kg/m³)	تشنجاری شدن (MPa)	مدول الاستیسیته (GPa)	مصالح
۷۸۵۰	۲۴۰	۲۱۰	فولاد

برخوردار است. جهت مدل‌سازی المان‌های قاب‌ها از المان پلاستیسیته گسترده استفاده شده است [۱۹]. این المان در طول خود تعدادی نقاط گوسی را از کاربرگرفته و همچنین قابلیت دریافت جرم را به صورت گسترده دارد. جهت مدل‌سازی مقاطع نیز از دستور مقطع فایبر استفاده شده است. این دستور قابلیت ایجاد مقطع به صورت دقیق داشته و مقطع را به صورت مشبندی شده ایجاد می‌نماید. شکل رفتاری مصالح فولادی استفاده شده جهت شبیه‌سازی در شکل (۲) ارائه شده است.



شکل ۲- رفتار مصالح فولادی در اپنسیس [۱۹]

مشخصات مصالح فولادی مطابق آنچه در گام طراحی



شکل ۱- قاب‌های در نظر گرفته شده در مطالعه حاضر

۱-۲- مدل‌سازی قاب‌ها در نرم‌افزار

جهت مدل‌سازی قاب‌های مورد نظر از نرم‌افزار اپنسیس استفاده شده است [۱۸]. این نرم افزار یک نرم افزار متن باز و رایگان می‌باشد و در تحلیل‌های دینامیکی غیرخطی از سرعت بالایی

تقریباً مشابه معرفی گردند. در این مطالعه از گروه شتاب نگاشتهای حوزه دور استفاده شده در مرجع [۱۶] بهره برده شده و همچنین یک گروه شتاب نگاشت نیز با در نظر گرفته شدن مولفه قائم نیز به گروههای قبلی اضافه گردیده است. مشخصات شتاب نگاشتهای در قالب گروه در جدول (۳) ارائه گردیده است. شتابهای مورد نظر از مرجع تحقیقات لرزه‌ای پاسیفیک^۴ دانلود و اصلاح خط مبنا با استفاده از نرم افزار سایزموسیگتال^۵ انجام شده است. برای در نظر گرفتن مولفه قائم، شتاب نگاشتهای گروه C را در نظر گرفته و همین تحلیل مولفه قائم این گروه نیز در نظر گرفته شده است. طیف فوریه گروههای شتاب نگاشت در شکل‌های (۳) تا (۶) ارائه شده است.

(جدول (۲)) در نظر گرفته شده وارد شده است. همچنین در گام معرفی مقاطع با توجه به رفتار مقاطع مناسب‌ترین تعداد مش بنده در نظر گرفته شده است. برای بررسی صحت مدل‌های ایجاد شده در نرم افزار اپنسیس مقادیر فرکانس مدهای اصلی مدل‌ها با آنچه در گام طراحی در نظر گرفته شده، قیاس و اختلاف ناچیزی را بین مدل‌ها نشان داده است.

۲- گروههای شتاب نگاشت

جهت بررسی خرابی پیش‌رونده جین زمین لرزه لازم است تعدادی شتاب نگاشت برای انجام تحلیل دینامیکی در نظر گرفته شود. از سوی دیگر با توجه به هدف اصلی این مطالعه در خصوص بررسی اثر مشخصات شتاب نگاشتهای بر پتانسیل خرابی پیش‌رونده لازم است که گروههای متعدد با مشخصات

جدول ۳- گروه‌های شتاب نگاشت

گروه لزلزله	نام زلزله	ایستگاه	بزرگا	سرعت موج برخشی	شدت آریاس در مقیاس ۰/۵	شدت آریاس در مقیاس ۰/۳۵	پریود غالب (ثانیه)	PGA/ PGV (متر)
A	Superstation hill 1987	El Centro imp	۶/۵۴	۱۹۲/۰۵	۱/۰۵	۲/۱۴	۰/۷۸	۰/۴۶
	Taiwan Smart 1986	Smart 008	۷/۳۰	۳۵۷/۴۳	۲/۴۲	۴/۹۴	۰/۷۶	۰/۴۲
	Chichi Taiwan 1999	Chy-088	۶/۲۰	۳۱۸/۵۲	۳/۳۰	۶/۷۴	۰/۷۶	۰/۴۴
	Coalinga 1983	Parkfield	۶/۳۶	۱۷۸/۲۷	۳/۸۸	۷/۹۲	۰/۷۸	۰/۴۸
B	Chalfant valley 020	McGee creek surface	۶/۱۹	۳۵۹/۲۳	۱/۱۳	۴/۵۵	۳/۸۸	۰/۰۶
	Taiwan Smart (33)	Smart I04	۵/۸۰	۳۱۴/۸۸	۱/۱۳	۴/۵۴	۲/۰۵	۰/۱۸
	Taiwan Smart (5)	Smart1-M07	۵/۹۰	۳۲۷/۶۱	۱/۱۲	۴/۴۸	۱/۰۲	۰/۳۴
	Northern Calif 03	Ferndale City Hall	۶/۵۰	۲۱۹/۳۱	۱/۱۴	۴/۵۹	۰/۷۹	۰/۸۰
C	Lyte creek	LA Hollywood-StorFF	۵/۳۳	۳۱۷/۴۶	۱/۱۸	۴/۷۵	۲/۱۸	۰/۲۴
	Northridge	Carson Catskill ave	۶/۶۹	۳۰۵/۱۴	۱/۲۰	۴/۸۰	۱/۴۵	۰/۴۰
	Taiwan smart 1	Smart 1 c00	۶/۳۲	۳۰۹/۴۱	۱/۱۸	۴/۷۴	۰/۵۷	۰/۸۰
	Mammoth Lakes	Mammoth Elem school	۴/۸۵	۳۵۰/۵۴	۱/۶۶	۶/۶۴	۲/۶۰	۰/۱۲
D	Humbolt Bay	Ferndale City Hall	۵/۸۰	۲۱۹/۳۱	۱/۶۴	۶/۵۴	۱/۰۵	۰/۴۲
	Taiwan Smart1	Smart 1 001	۶/۳۲	۲۶۷/۶۷	۱/۷۰	۶/۸۶	۰/۴۵	۰/۷۶

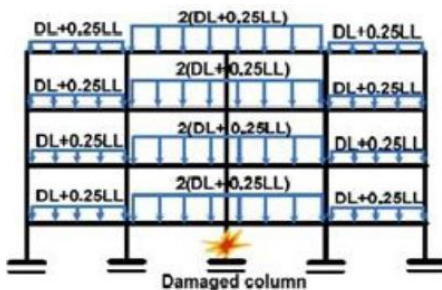
استفاده شده است [۵]. در شیوه ارائه شده توسط این آین نامه میزان بار گسترده اعمالی در تحلیل استاتیکی و دینامیکی متفاوت خواهد بود. شکل (۵) به صورت شماتیک نحوه بارگذاری توصیه شده توسط آین نامه اداره خدمات آمریکا را نمایش می‌دهد.

۳- تحلیل خرابی پیش‌رونده

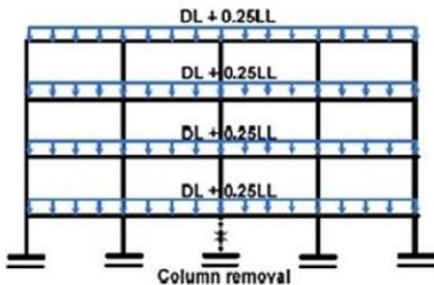
بنابر پیشنهاد آین نامه‌های رایج دو شیوه برای انجام تحلیل خرابی پیش‌رونده به صورت استاتیکی و دینامیکی می‌توان در نظر گرفت. آین نامه‌ها برای هر روش ترکیب بار خاصی را معرفی نموده‌اند. در این تحقیق از شیوه ارائه شده توسط آین نامه اداره خدمات آمریکا جهت اعمال بار گسترده به قاب‌ها



با ستون حذف شده هستند به میزان دو برابر سایر دهانه ها می باشد که بارگذاری شوند. در شیوه ارائه شده در آین نامه اداره خدمات عمومی آمریکا، نیروهای داخلی عضو مورد نظر را استخراج و سپس به صورت نیروی متمرکز خارجی در محل عضو حذف شده مدل سازی شده و پس از اعمال برای شبیه سازی حذف شدن المان، بارهای مورد نظر ناگهانی در ثانیه هفتم حذف خواهند شد (مشابه مطالعه Kim و همکارانش ۲۰۱۱ و Tavakoli و همکارانش ۲۰۱۷). جهت انجام تحلیل خرابی پیش رو نهادی آین نامه حین تحلیل ثقلی به سازه اعمال و سپس سازه وارد تحلیل دینامیکی شده است.



(الف) ترکیب بار ویژه تحلیل استاتیکی

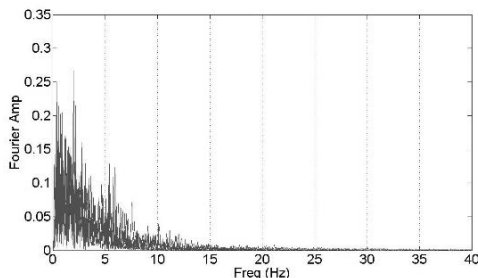


(ب) ترکیب بار ویژه تحلیل دینامیکی

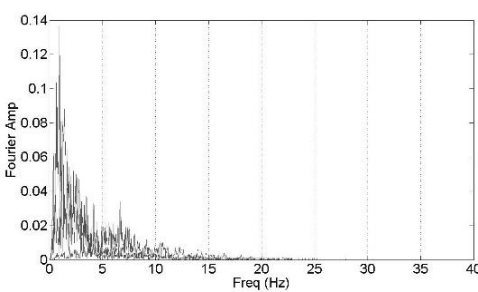
شکل ۷- ترکیب بار پیشنهادی آین نامه اداره خدمات عمومی آمریکا [۵]

در گام تحلیل دینامیکی شتاب نگاشت ها به سازه اعمال و در گام مورد نظر المان در نظر گرفته شده در سناریوی از پیش تعریف شده، حذف خواهد شد. سناریوی های حذف المان برای قاب های مختلف در جدول (۴) ارائه شده است.

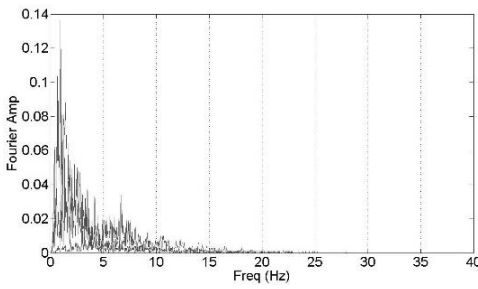
جهت اعتبار سنجی نحوه مدل سازی و همچنین نحوه شبیه سازی خرابی پیش رو نده، از مطالعه آزمایشگاهی قاب فولادی دو بعدی که توسط Sadak و همکارانش [۲۰] در سال ۲۰۱۰ انجام شده استفاده شده است. در این مطالعه یک قاب دودهانه فولادی در نظر گرفته شده که ستون میانی در حین آزمایش به سمت پایین تحت بارگذاری قرار گرفته و نمودار نیروی اعمالی



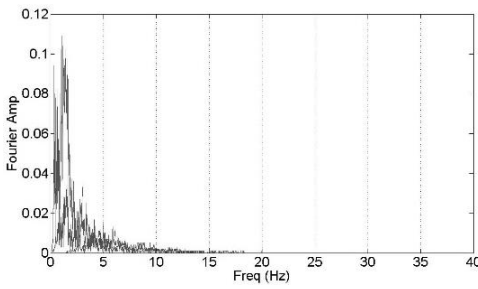
شکل ۳- طیف فوریه شتاب نگاشت های گروه A



شکل ۴- طیف فوریه شتاب نگاشت های گروه B



شکل ۵- طیف فوریه شتاب نگاشت های گروه C



شکل ۶- طیف فوریه شتاب نگاشت های گروه D

در این آین نامه جهت انجام تحلیل خرابی پیش رو نده به صورت دینامیکی تمامی دهانه ها ترکیب باری شامل بار مرده به علاوه یک چهارم بار زنده را تجربه می نمایند. این در حالیست که در تحلیل استاتیکی، بار دهانه های که شامل ستون حذفی نمی باشند مشابه حالت دینامیکی، ولیکن دهانه هایی که در ارتباط

نشان دهنده شباهت مطلوب نمونه آزمایشگاهی و مدل ایجاد شده در نرم افزار اپنسیس است. در محیط نرم افزار اپنسیس قاب موردنظر به شیوه پلاستیسیته گستردۀ توسط المان غیرخطی و اختصاص مقطع فایبر به صورت مشبّد شده مدل‌سازی شده است. تعداد نقاط انگرال گیری در هر المان ۵ در نظر گرفته شده است.

۱-۳- مدل‌سازی خرابی پیش‌روندۀ دینامیکی در نرم افزار اپنسیس

جهت شبیه‌سازی خرابی پیش‌روندۀ در نرم افزار اپنسیس ابتدا مدل اصلی قاب ایجاد و سپس بارگذاری ثقلی با توجه به پیشنهاد آینه نامه به سازه اعمال می‌گردد. در این مرحله مدل وارد چرخه تحلیل دینامیکی تحت اثر شتاب نگاشت شده و در گام مورد نظر المان و یا المان‌های پیش‌بینی شده در سناریو توسط دستور حذف المان به کلی از سیستم سازه حذف و تحلیل ادامه پیدا خواهد کرد. در این شیوه المان مورد نظر تماماً از سیستم باربر قاب حذف شده و خرابی پیش‌روندۀ بخوبی شبیه سازی خواهد شد. در این تحقیق در تمامی سناریوهای برای هر شتاب نگاشت، حذف المان در زمان رخداد بیشینه شتاب آن شتاب نگاشت در نظر گرفته شده است.

۴- نتایج تحلیل

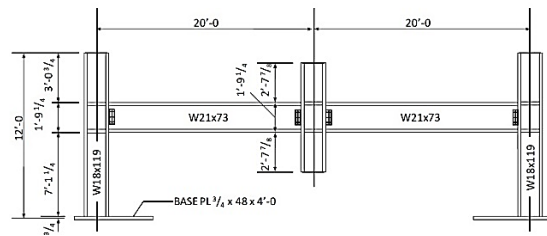
جهت بررسی نتایج تحلیل سازه‌های مورد نظر تحت اثر شتاب نگاشت‌های تمامی گروه‌ها قرار گرفته و در لحظه رخداد بیشینه شتاب هر شتاب نگاشت، المان مورد نظر با توجه به سناریوی در نظر گرفته شده حذف شده است. نمودارهای تاریخچه جابجایی، سرعت و شتاب برای تمامی شتاب نگاشت‌ها ترسیم شده است. به عنوان نمونه در شکل (۱۰) نمودار تاریخچه جابجایی گره فوقانی ستون حذف شده در قاب‌ها تحت شتاب نگاشت B1 ترسیم شده است.

همانطور که از شکل (۱۰) قابل مشاهده است حذف ستون کناری جابجایی‌های قائم بزرگتری را نسبت به حذف ستون میانی نشان داده است. ستون کناری با توجه به اینکه از یک سو توسط تیر مهار شده است، نسبت به ستون میانی که توسط دو تیر به قاب متصل است، پس از حذف، تاثیر بیشتری بر سازه داشته و در تمامی قاب‌های ۴، ۸ و ۱۲ طبقه مقادیر بزرگ‌تری را ثبت کرده است. ردیف پایینی نمودارهای شکل (۱۰) به قیاس جابجایی نقطه فوقانی ستون حذف شده در قاب‌های مختلف برای حالات حذف ستون طبقه همکف و آخرین طبقه، پرداخته است. با افزایش تعداد طبقات، اختلاف بیشتری بین پاسخ‌ها

در برابر جابجایی قائم ترسیم گردیده است. شکل (۱۰) مشخصات قاب فولادی در نظر گرفته شده در این مطالعه را نمایش می‌دهد.

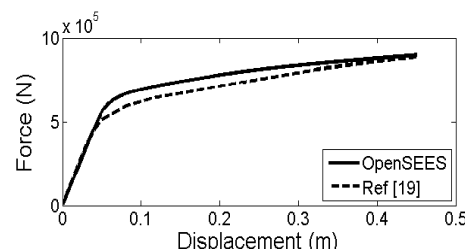
جدول ۴- سناریوی حذف ستون

سناریو	قب	طبقه	محل ستون
S1	۴ طبقه خمسمی	همکف	کناری
S2	۸ طبقه خمسمی	همکف	کناری
S3	۱۲ طبقه خمسمی	همکف	کناری
S4	۴ طبقه خمسمی	همکف	میانی
S5	۸ طبقه خمسمی	همکف	میانی
S6	۱۲ طبقه خمسمی	همکف	میانی
S7	۴ طبقه خمسمی	سوم	میانی
S8	۸ طبقه خمسمی	هفتم	میانی
S9	۱۲ طبقه خمسمی	یازدهم	میانی



شکل ۸- قاب دو بعدی در نظر گرفته شده در مطالعه مرجع [۱۹]

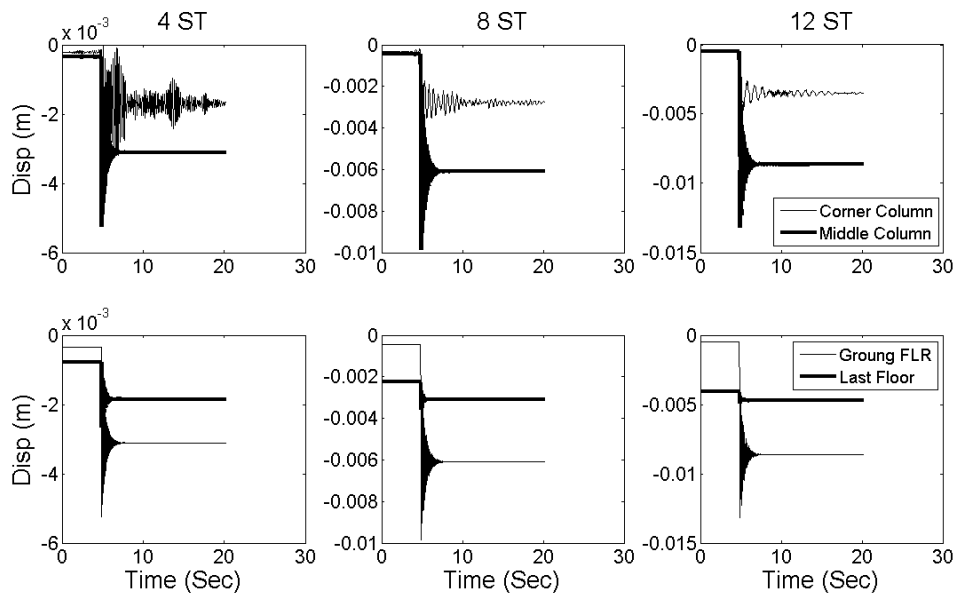
همانطور که از شکل (۱۰) مشاهده می‌شود این قاب دارای دو تیر و دو ستون اصلی بوده و ستون میانی جهت اعمال بار در جهت قائم در نظر گرفته شده است. جهت صحت سنجی نحوه مدل‌سازی قاب‌ها در نرم افزار اپنسیس، قاب فوق را مجدد در نرم افزار اپنسیس مدل‌سازی نموده و بار مورد نظر در جهت قائم به نقطه میانی اعمال می‌شود. شکل (۹) قیاس نتایج را نمایش می‌دهد.



شکل ۹- مقایسه نتایج قاب مطالعه NIST و مدل‌سازی در اپنسیس

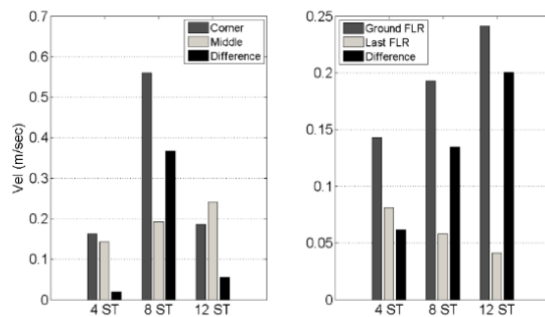
قیاس نتایج اختلاف ۰ تا ۸ درصدی را نمایش می‌دهد، که





شکل ۱۰- تاریخچه جابجایی گره بالایی ستون حذف شده تحت شتاب نگاشت B1

شکل (۱۲) به ارائه مقادیر بیشینه سرعت گره فوکانی ستون حذف شده تحت شتاب نگاشت A1 پرداخته است. همانطور که از این شکل قابل مشاهده است، میزان بیشینه سرعت گره فوکانی ستون حذف شده در سناریوی S2 بیش از دو قاب دیگر می باشد. همچنین مشاهده می شود که با افزایش تعداد طبقات، میزان سرعت گره فوکانی در حالت حذف ستون طبقه آخر کاهش یافته و این در حالیست که سرعت گره فوکانی در حالت حذف ستون طبقه همکف افزایش یافته است.

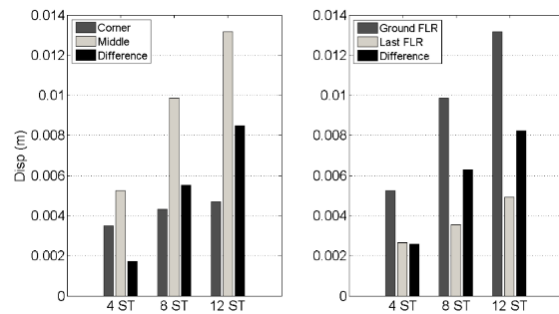


شکل ۱۲- بیشینه سرعت گره بالایی ستون حذف شده تحت شتاب نگاشت A1

همان طور که از شکل (۱۲) قابل مشاهده است، تفاوت پاسخ سرعت در قاب چهار طبقه برای حالات کناری و میانی و همچنین همکف و آخري، کمتر از سایر قابها می باشد. شکل (۱۳) نیز به ارائه بیشینه پاسخ شتاب قابها تحت شتاب نگاشت A1 پرداخته است. مقادیر بیشینه شتاب ثبت شده در شکل (۱۳)

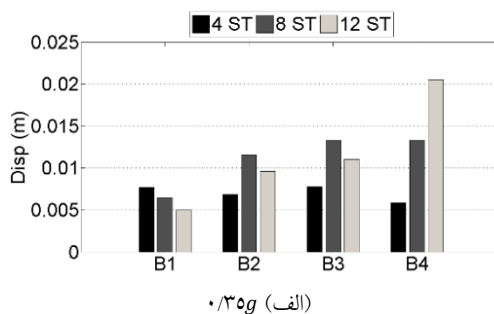
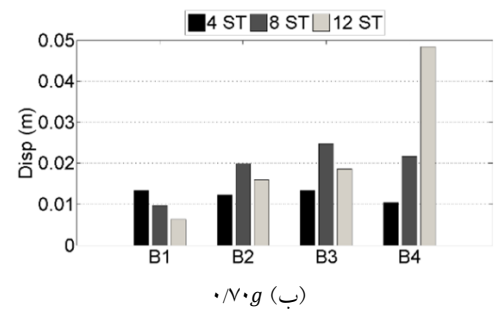
نمایش داده شده است. بدینهی است که قاب با تعداد طبقات بیشتر دارای درجات نامعینی بیشتر بوده و با حذف ستون طبقه همکف، مقادیر کمتری از جابجایی را ثبت خواهد نمود.

شکل (۱۱) به ارائه مقادیر بیشینه جابجایی قابها تحت شتاب نگاشت B1 پرداخته است. مشابه نتایجی که از تاریخچه نتایج گرفته شد، در نمودارهای شکل (۱۱) نیز بصورت دقیق تر قاب مشاهده می باشد. تفاوت پاسخ در حذف ستون کناری و میانی با افزایش ارتفاع قاب افزایش یافته و این بدان معنی است که در قابهای با ارتفاع و تعداد طبقات بیشتر تفاوت بیشتری در پاسخ سازه برای حذف ستون کناری و میانی در یک تراز مشخص، ایجاد شده است. البته نسبت تفاوت در میزان جابجایی در قاب های با ارتفاع ۴، ۸ و ۱۲ طبقه بترتیب برابر ۵۷، ۳۲ و ۶۳ درصد می باشد. البته این نتایج برای سایر شتاب نگاشت ها اندکی متفاوت می باشد.

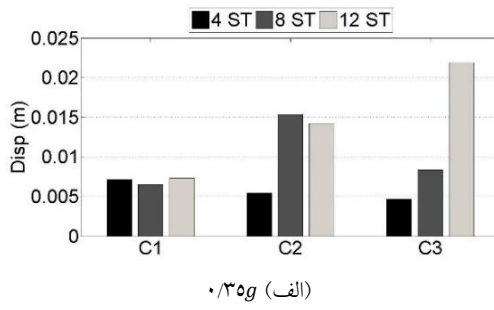
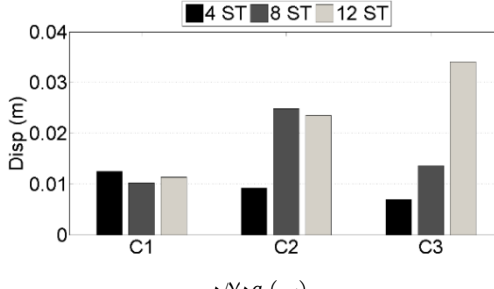


شکل ۱۱- بیشینه جابجایی گره بالایی ستون حذف شده تحت شتاب نگاشت B1

شتاب نگاشت‌ها به مقادیر $0/35g$ و $0/7g$ برابر شتاب گرانش) و همچنین شدت آریاس، با افزایش پریود غالب شتاب نگاشت، مقادیر بیشینه جابجایی قائم گره مبنا، در قاب ۱۲ طبقه، افزایش و در قاب ۴ طبقه کاهش ناچیز داشته و در قاب ۸ طبقه روال مشخصی نداشته است.

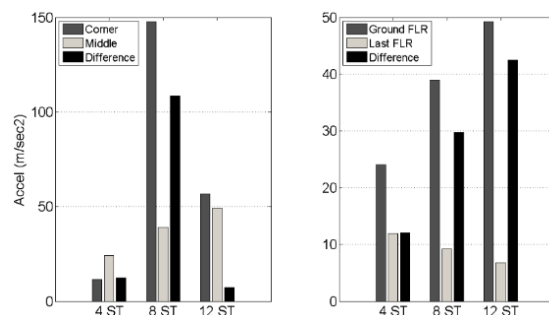
(الف) $0/35g$ (ب) $0/7g$

شکل ۱۴- بیشینه جابجایی گره بالایی ستون حذف شده تحت
شتاب نگاشت گروه B

(الف) $0/35g$ 

شکل ۱۵- بیشینه جابجایی گره بالایی ستون حذف شده تحت
شتاب نگاشت گروه C

نشان می‌دهد که مقادیر شتاب ثبت شده برای حالت ستون کناری بیشتر از ستون میانی در قاب‌های ۸ و ۱۲ طبقه بوده و این روال برای قاب ۴ طبقه بر عکس می‌باشد.



شکل ۱۳- بیشینه شتاب گره بالایی ستون حذف شده تحت
شتاب نگاشت A1

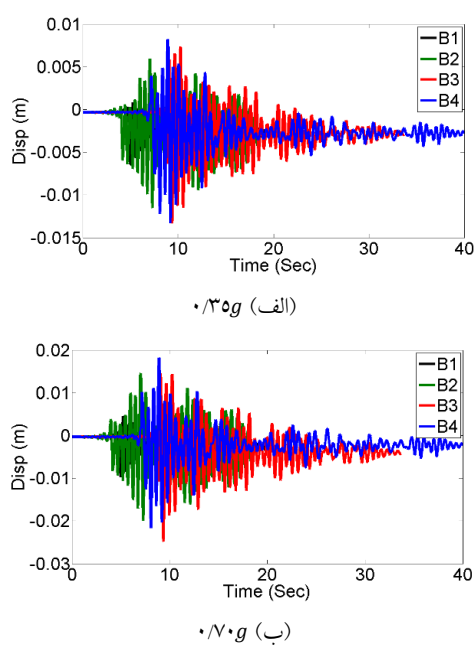
همچنین مقادیر بیشینه شتاب ثبت شده در طبقه همکف بیشتر از مقادیر ثبت شده در طبقه بام می‌باشد، چراکه با حذف ستون هم کف، جرم موجود در بالای گره حذف شده بیشتر بوده و مقادیر بیشتری از شتاب را ثبت خواهد نمود.

جهت بررسی اثر مشخصات زمین‌لرزه بر روی پاسخ قاب‌ها تحت خرابی پیش‌رونده به قیاس نتایج بین گروه‌های مختلف زمین‌لرزه می‌پردازیم. محتوای فرکانسی از مشخصات بسیار مهم یک شتاب نگاشت بوده و اثر زیادی بر پاسخ دینامیکی سازه خواهد داشت. مولفه‌های گوناگونی برای سنجش و گروه بندی شتاب نگاشت‌ها بر مبنای محتوای فرکانسی موجود بوده، ولیکن نسبت بیشینه شتاب به بیشینه سرعت و پریود غالب، از مهمترین شاخص‌ها می‌باشدند [۲۱ و ۲۲].

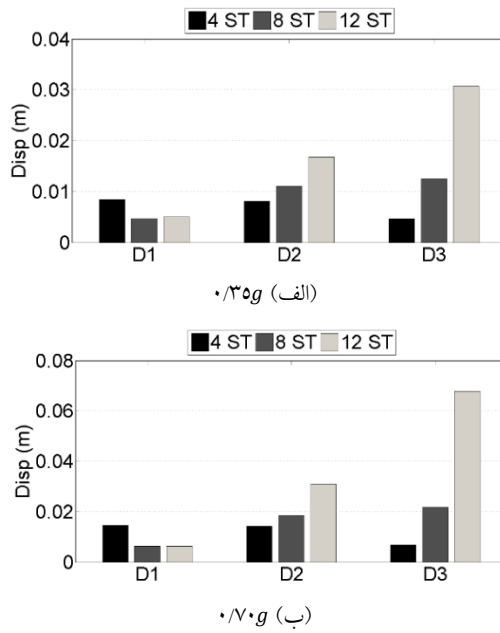
در مطالعات اخیر نظری Tavakoli و همکارانش در سال ۲۰۱۷ محتوای فرکانسی بر اساس نسبت بیشینه شتاب بر بیشینه سرعت به سه دسته: بالا، برای مقادیر نسبت بزرگ‌تر از $1/2$ متوسط، برای مقادیر نسبت بین $0/8$ تا $1/2$ و پایین، برای مقادیر نسبت کمتر از $0/8$ در نظر گرفته شده است [۱۶]. برای بررسی تاثیر محتوای فرکانسی، شتاب نگاشت‌های گروه‌های C, D و C, B را که دارای شدت آریاس و بیشینه شتاب مشابه می‌باشند، به سازه‌ها اعمال و نتایج ارائه شده است.

شکل‌های (۱۴) تا (۱۶) به ارائه مقادیر بیشینه جابجایی گره فوقانی ستون حذف شده کناری در قاب‌های ۴، ۸، ۱۲ و ۱۶ طبقه تحت شتاب نگاشت گروه‌های C, B و D پرداخته‌اند.

همانطور که از شکل‌های (۱۴) تا (۱۶) قابل مشاهده هست با برابر بودن میزان بیشینه شتاب (با توجه به هم پایه سازی

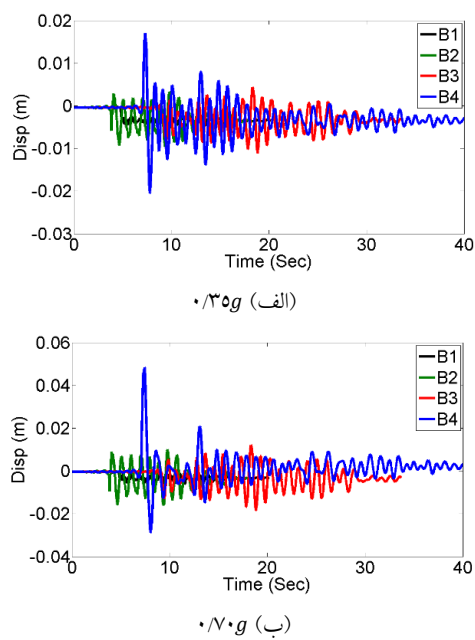


شکل ۱۸- تاریخچه جابجایی گره بالایی ستون حذف شده
قاب ۸ طبقه تحت شتاب نگاشت گروه B

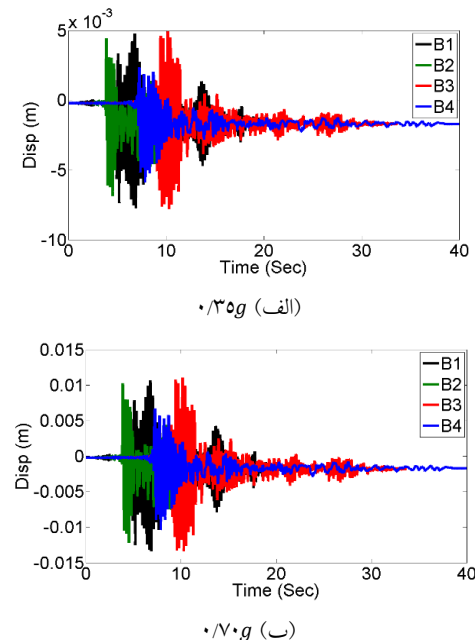


شکل ۱۶- بیشینه جابجایی گره بالایی ستون حذف شده تحت
شتتاب نگاشت گروه D

این نشان می‌دهد که جابجایی گره مینا تا حد زیادی به پریود غالب شتاب نگاشت و در واقع به محتوای فرکانسی شتاب نگاشت ورودی حساس می‌باشد.
شکل‌های (۱۹) تا (۲۰) تاریخچه جابجایی گره مینا در قاب‌ها را تحت شتاب نگاشت‌های گروه B در حالت حذف ستون کناری، نمایش می‌دهد.



شکل ۱۹- تاریخچه جابجایی گره بالایی ستون حذف شده
قاب ۱۲ طبقه تحت شتاب نگاشت گروه B

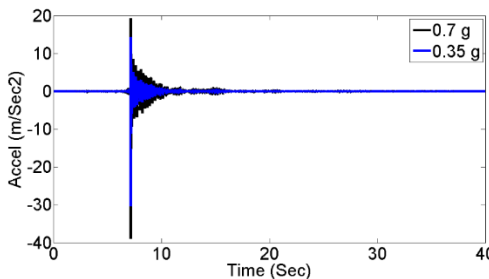


شکل ۱۷- تاریخچه جابجایی گره بالایی ستون حذف شده
قاب ۴ طبقه تحت شتاب نگاشت گروه B

از شکل (۱۷) مشاهده می‌شود که شتاب نگاشت‌ها با پریود غالب متفاوت نتایج مختلفی را ثبت نموده‌اند، به طوریکه با افزایش پریود غالب شتاب نگاشت، دامنه نوسانات گره مینا در راستای قائم افزایش یافته است.
با رویکردی دیگر در بررسی شکل‌های (۱۹) تا (۲۰)

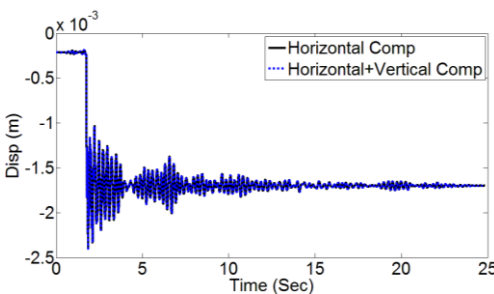


آریاس تاثیر زیادی در پاسخ قاب‌ها تحت اثر خرابی پیش رو نمود در حین رخداد زمین لرزه خواهد داشت.



شکل ۲۲- تاریخچه شتاب گره مبنای قاب ۴ طبقه تحت شتاب نگاشت S1 در سناریوی Northen-Calif

جهت بررسی اثر مولفه قائم در پتانسیل خرابی پیش رو نمود قاب‌ها، شتاب نگاشتهای گروه C را بک مرتبه صرفًا به صورت افقی و در مرتبه دیگر به طور همزمان مولفه قائم نیز در حین تحلیل به سازه‌ها اعمال گردید. در شکل‌های (۲۳) تا (۲۵) تاریخچه جابجایی قائم گره مبنای در سناریوی S1 تحت شتاب نگاشتهای گروه C در حالت‌های اعمال مولفه افقی و اعمال مولفه‌های افقی و قائم به طور همزمان ترسیم شده است. همانطور که مشاهده می‌شود، تفاوت پاسخ در حالت اعمال مولفه قائم با حالت اعمال مولفه افقی به تنها یک بسیار ناچیز می‌باشد.

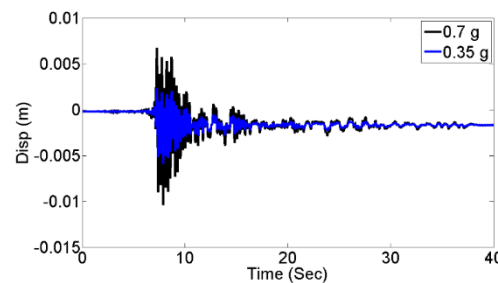


شکل ۲۳- تاریخچه جابجایی گره مبنای قاب ۴ طبقه تحت شتاب نگاشت S1 در سناریوی Lytle creek

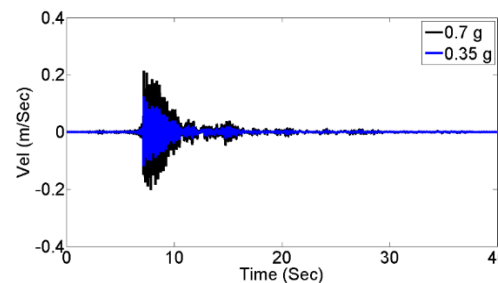
با حذف ستون یک شوک بسیار بزرگ به قاب اعمال شده و جابجایی‌های بسیار بزرگی را در راستای قائم تجربه می‌نماید. در این حالت اگر چنانچه مولفه قائم نیز در حین تحلیل در نظر گرفته شود، تفاوت پاسخ بسیار انداز بوده و تاثیر زیادتری نسبت به شوک ناشی از حذف نخواهد داشت.

مشاهده می‌شود که با افزایش میزان بیشینه شتاب و بنابراین با افزایش شدت آریاس، مقادیر بیشینه جابجایی در تمامی حالات افزایش یافته است.

برای بررسی دقیق تر تاثیر بیشینه شتاب و شدت آریاس، شکل (۲۰) به طور موردی تاریخچه جابجایی قائم گره مبنای تحت شتاب نگاشت از گروه B از Northen-Calif در دو حالت مقیاس نمایش داده است. مشاهده می‌شود که در این حالت جابجایی بیشینه در حالت مقیاس ۰/۳۵ به میزان ۶ میلی متر و در حالت مقیاس شده به ۰/۷ به میزان ۱۰ میلی متر بوده که حدوداً ۴۰ درصد افزایش را نشان می‌دهد. این افزایش میزان بیشینه جابجایی قائم در قاب‌های ۸ و ۱۲ طبقه نیز در سناریوهای S2 و S3 به ترتیب برابر ۳۸ و ۶۶ درصد مشاهده گردید. این تاثیر در تاریخچه سرعت و شتاب نیز مشاهده شده که در شکل‌های (۲۱) و (۲۲) به ترتیب تاریخچه سرعت و شتاب گره مبنای در سناریوی S1 تحت شتاب نگاشت از گروه B از Northen-Calif نماش داده شده است.



شکل ۲۰- تاریخچه جابجایی گره مبنای قاب ۴ طبقه تحت شتاب نگاشت S1 در سناریوی Northen-Calif



شکل ۲۱- تاریخچه سرعت گره مبنای قاب ۴ طبقه تحت شتاب نگاشت S1 در سناریوی Northen-Calif

بنابراین مشاهده می‌شود که محتوای فرکانسی که خود به پریود غالب و همچنین نسبت بیشینه شتاب بر بیشینه سرعت وابسته است و همچنین مقادیر بیشینه شتاب و بالطبع شدت

نتایج نشان داد که مقادیر بیشینه پاسخ در قاب های مهاربندی تا حد زیادی از مقادیر مشابه در قاب های خمشی کمتر می باشد و اثر مطلوب حضور مهاربند ضربدری در قاب ها جهت پتانسیل خرابی پیش رونده مشهود است.

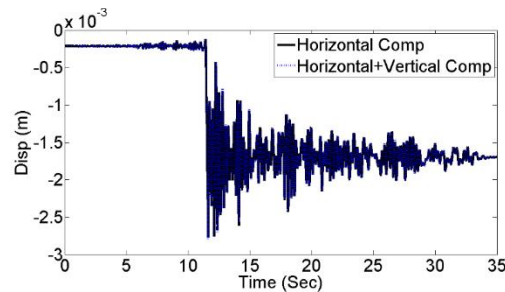
مقادیر بیشینه جابجایی گره فوکانی ستون حذف شده کناری در قاب های مهاربندی بدلیل حضور مهاربند در مجاورت ستون کناری بسیار کمتر از نمونه مشابه در قاب خمشی است.

نتایج نشان داد که تغییرات بیشینه ستون حذف شده کناری تغییرات در شدت آریاس تاثیر زیادی در پاسخ قاب ها داشته و میزان جابجایی گره مبنا، که همان گره فوکانی ستون حذف شده می باشد، تا ۶۶ درصد می تواند متفاوت باشد. این تفاوت با نسبت های مختلف برای پاسخ سرعت و جابجایی گره مبنا نیز مشاهده گردید. بطور کلی با افزایش بیشینه ستون، دامنه تمامی پاسخ های گره مبنا افزایش یافته است.

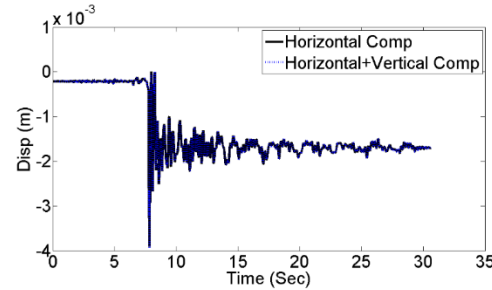
نتایج نشان داد که حذف ستون کناری جابجایی های قائم بزرگ تری را نسبت به حذف ستون میانی نشان داده است. ستون کناری با توجه به اینکه از یک سو توسط تیری مهار شده است، نسبت به ستون میانی که توسط دو تیر به قاب متصل است، پس از حذف، تاثیر بیشتری بر سازه داشته و در تمامی قاب های ۴، ۸ و ۱۲ طبقه مقادیر بزرگ تری را ثبت کرده است.

با بررسی پاسخ قاب ها تحت ستون نگاشت های گروه های متعدد تعریف شده در ابتدای تحقیق و همپایه سازی این ستون نگاشت ها به مقادیر ۰/۳۵ و ۰/۷ برابر ستون گرانش، با نزدیک بودن مقادیر شدت آریاس، اثرات تغییرات پریود غالب و همچنین نسبت بیشینه ستون یک بیشینه سرعت که هردو از شاخص های محتوای فرکانسی بوده و در مطالعات پیشین مبنای دسته بندی ستون نگاشت ها در حوزه محتوای فرکانسی نگاشت ها و همچنین کاهش میزان نسبت بیشینه ستون بر بیشینه سرعت، پاسخ های گره مبنا در قاب ۱۲ طبقه افزایش محسوسی داشته است. این روال برای قاب ۴ طبقه معکوس و در قاب ۸ طبقه روال مشخصی نداشته است.

در انتهای جهت بررسی اثر اعمال مولفه قائم در حین تحلیل خرابی پیش رونده، ستون نگاشت های یک گروه مبنای عمل قرار گرفته و در حالت دوم مولفه قائم متاظر با ستون نگاشت های این گروه به قاب ها به طور همزمان با مولفه افقی اعمال گردید. نتایج در این حالت تفاوت محسوسی را بین پاسخ سازه نمایش نداده که نشان دهنده این است با توجه به اینکه در حین حذف ستون بطور ناگهانی، پاسخ های بزرگی در این ناحیه



شکل ۲۴- تاریخچه جابجایی گره مبنای قاب ۴ طبقه تحت ستون نگاشت Northridge در سناریوی S1



شکل ۲۵- تاریخچه جابجایی گره مبنای قاب ۴ طبقه تحت ستون نگاشت Taiwan Smart 1 در سناریوی S1

۵- نتیجه گیری

در این تحقیق اثر مشخصات ستون نگاشت ها نظر شاخص آریاس، بیشینه ستون، محتوای فرکانسی و همچنین اعمال مولفه قائم در حین تحلیل، در ارزیابی پتانسیل خرابی پیش رونده قاب های ۴، ۸ و ۱۲ طبقه فولادی تجهیز شده به مهاربند دروازه ای مورد بررسی قرار گرفت. برای انجام تحلیل خرابی پیش رونده از بارگذاری پیشنهادی آینه نامه اداره خدمات عمومی آمریکا در حالت تحلیل دینامیکی استفاده شده و حین اعمال تاریخچه ستون نگاشت ها به قاب ها، در گام زمانی متناسب با رخداد بیشینه ستون، ستون مورد نظر به طور کامل حذف و تحلیل دینامیکی ادامه یافت. جهت بررسی پتانسیل خرابی پیش رونده قاب ها، ۹ سناریوی حذف ستون کناری و میانی در طبقه گردید. سناریوها شامل حذف ستون کناری و میانی در طبقه همکف و همچنین ستون میانی در طبقه بام برای تمامی قاب ها در نظر گرفته شد. همچنین جهت بررسی اثرات مشخصات مختلف ستون نگاشت که اشاره شد، ۴ گروه مختلف ستون نگاشت معرفی گردیده و همچنین با همپایه سازی این ستون نگاشت ها، دسته های متعدد از ستون نگاشت معرفی و تحت سناریوهای تعریف شده به تمامی قاب ها اعمال گردید. در مجموع حدود ۴۴۱ مرتبه تحلیل انجام گردید.



- [13] Tavakoli, H.R., Naghavi, F. and Goltabar, A.R. (2015), "Effect of base isolation systems on increasing the resistance of structures subjected to progressive collapse", *Earthquakes and Structures*, Vol. 9, pp. 639-656.
- [14] Faroughi, A., Moghadam, A.S. and Hosseini, M. (2017), "Seismic progressive collapse of MRF-EBF dual steel systems", *Proceedings of the Institution of Civil Engineers-Structures and Buildings*, Vol. 170, pp. 67-75.
- [15] Li, L., Wang, W., Chen, Y. and Teh, L.H. (2017), "A basis for comparing progressive collapse resistance of moment frames and connections", *Journal of Constructional Steel Research*, Vol. 139, pp. 1-5.
- [16] Tavakoli, H.R. and Hasani, A.H. (2017), "Effect of Earthquake characteristics on seismic progressive collapse potential in steel moment resisting frame", *Earthq. Struct.*, Vol. 12, pp. 529-541.
- [17] Abdelwahed, B. (2019), "A review on building progressive collapse, survey and discussion", *Case Studies in Construction Materials*, Vol. 11, pp. e00264.
- [18] Open System for Earthquake Engineering Simulation (OpenSees), <https://opensees.berkeley.edu/>.
- [19] Foroughi, S.M.J. (2017), "The Most Complete Applied Reference of OpenSees", Book, Negarandeh Danesh Pub, ISBN: 978-600-6190-75-4, (In Persian).
- [20] Sadak, F., Main, J., Lew, H.S., Robert, S., Chiarito, V. and Tawil, Sh. (2010), "An experimental and computational study of precast concrete moment frames under a column removal scenario", NIST Technical Note 1886, US Department of Commerce, National Institute of Standards and Technology.
- [21] Kramer, S.L. (1996), "Geotechnical earthquake engineering", New Jersey, Prentice-Hall.
- [22] Tso, W.K., Zhu, T.J. and Heidebrecht, A.C. (1992), "Engineering implication of ground motion A/V ratio", *Soil Dynamics and Earthquake Engineering*, Vol. 11, pp. 133-144.

ثبت شده، اعمال مولفه قائم تاثیر زیادی در ایجاد تفاوت در پاسخ سازه نداشته است. با توجه به محدودیت‌های موجود در این مطالعه پیشنهاد می‌گردد که در مطالعات آتی، اثرات پالس در رکوردهای حوزه نزدیک، اثرات دال بتنی سقف‌ها و همچنین اندرکنش خاک-سازه دیده شود.

۶- مراجع

- [1] Menchel, K. (2009), "Progressive collapse: comparison of main standards, formulation and validation of new computational procedures", Universite Libre de Bruxelles, Faculte des Sciences Appliquees (Ph. D. Thesis).
- [2] UFC 4-01-01, (2003), Unified facilities criteria (UFC), DoD minimum antiterrorism standards for buildings, department of defense (DoD)A.
- [3] UFC, (2009), Design of buildings to resist progressive collapse, Unified Facilities Criteria, Department of Defense (DoD), 4-023-03.
- [4] UFC 4-023-03, (2010), DoD, Minimum antiterrorism standards for buildings, Department of Defense, Design of Structures to Resist Progressive Collapse.
- [5] GSA, (2003), Progressive collapse analysis and design guidelines for new federal office buildings and major modernization projects, The U.S. General Services Administration.
- [6] Gross, J.L. and McGuire, W. (1983), "Progressive collapse resistance design", *Journal of Structural Engineering (ASCE)*, Vol. 109, pp. 1-15.
- [7] Kaewkulchai, G. and Williamson, E.B. (2003), "Dynamic behavior of planar frames during progressive collapse", 16th ASCE engineering mechanics conference.
- [8] Ruth, P., Marchand, K.A. and Williamson, E.B. (2006), "Static equivalence in progressive collapse alternate path analysis: Reducing conservatism while retaining structural integrity", *Journal of Performance of Constructed Facilities*, Vol. 20, pp. 349-364.
- [9] Kim, H.S., Kim, J. and An, D.W. (2009), "Development of integrated system for progressive collapse analysis of building structures considering dynamic effects", *Advances in Engineering Software*, Vol. 40, pp. 1-8.
- [10] Kim, J. and An, D. (2009), "Evaluation of progressive collapse potential of steel moment frames considering catenary action", *The structural design of tall and special buildings*, Vol. 18(4), pp. 455-465.
- [11] Kim, J. and Kim, T. (2009), "Assessment of progressive collapse-resisting capacity of steel moment frames", *Journal of Constructional Steel Research*, Vol. 65, pp. 169-179.
- [12] Jiang, J., Li, G.Q. and Usmani, A. (2015), "Effect of bracing systems on fire-induced progressive collapse of steel structures using OpenSees", *Fire Technology*, Vol. 51, pp. 1249-1273.

پی‌نوشت

¹ General Services Administration (GSA)

² Peak Ground Acceleration (PGA)

³ OpenSees

⁴ PEER

⁵ Seismo signal

